

モノポール背景場をもつ余剰次元における 相転移構造

学籍番号：127s103s

素粒子宇宙論研究室 池田毅

参考文献

Wu, Tai Tsun Yang, Chen Ning (1976), "Dirac monopole without strings: monopole harmonics", *Nuclear Physics. B* **107** (3): 365–380,

Seiho Matsumoto, Makoto Sakamoto, Shogo Tanimura (2001), "Spontaneous breaking of the rotational symmetry induced by monopoles in extra dimensions"

Physics Letters. B **518** (2001) 163–170

目的

S^2 を余剰次元に持つ $M^4 \times S^2$ ス
カラー場の理論を考える。

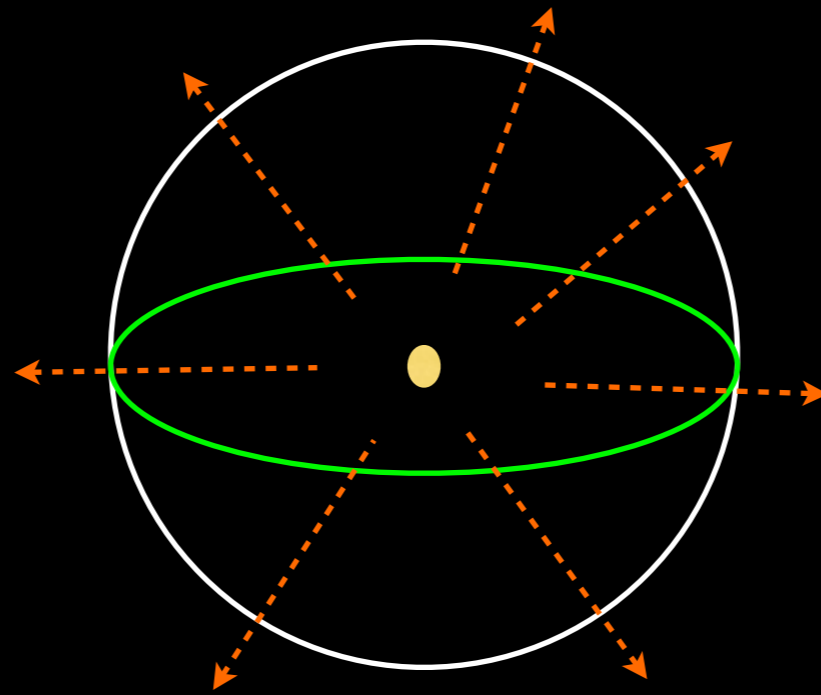
この時、 S^2 にモノポール背景場を入れ
ると相転移構造が現れ、真空期待値が
座標依存性を持つ

流れ

- 単電荷と同様に放射状で一様な磁場を持つモノポールを考え、そのとき eg が量子化されることを示す
- モノポールの周りの電子の角運動量の固有値が $l = |q|, |q| + 1, |q| + 2, \dots$ とすることを示す。
- S^2 を余剰次元に持つ 6次元スカラー場を考え、モノポールがある場合、相転移構造が現れること具体例で示す

モノポールの設定

単電荷と同様の放射状の磁場を作る

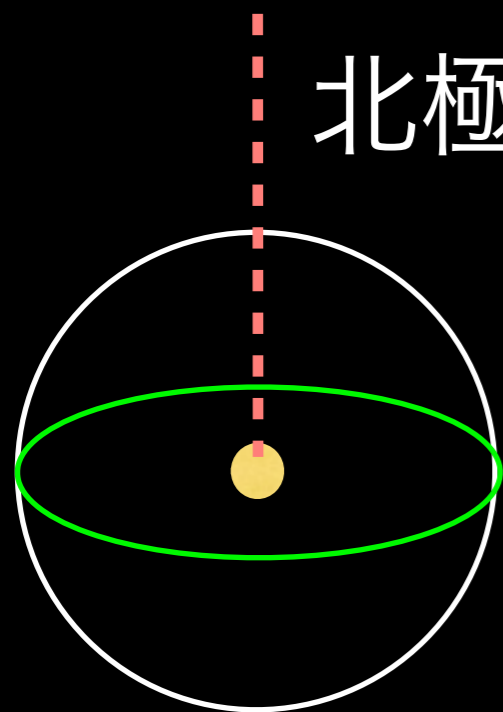


$$\vec{B} = \frac{g}{r^3} \vec{r}$$

特異線

$$(A_r) = (A_\theta) = 0$$

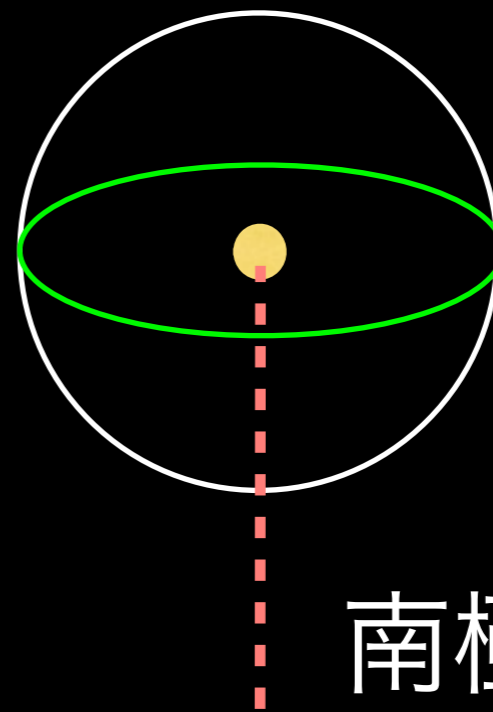
$$A_\phi = \frac{-g}{r \sin \theta} (1 + \cos \theta)$$



北極に特異線

$$(A_r) = (A_\theta) = 0$$

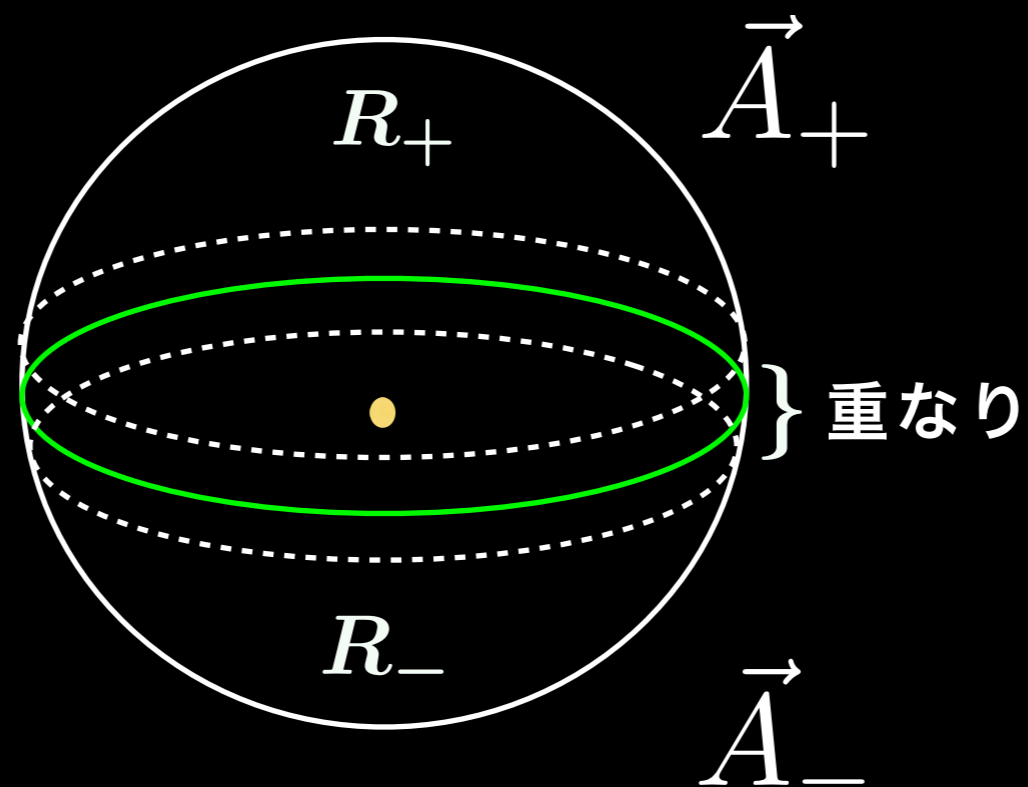
$$A_\phi = \frac{g}{r \sin \theta} (1 - \cos \theta)$$



南極に特異線

一つのベクトルポテンシャルだと
困難がある。

二つの領域



重なりではゲージ変換によって
 \vec{A} が結ばれている必要がある

$$\vec{A}_+ = \vec{A}_- + \nabla\chi$$

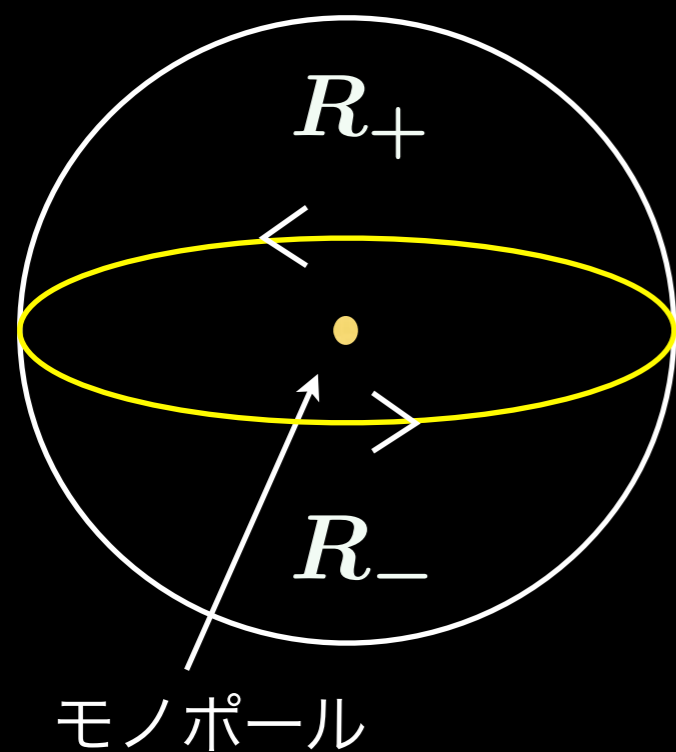
量子化条件

$$eg = \frac{1}{2} \hbar c \cdot n$$

を求める

総磁束

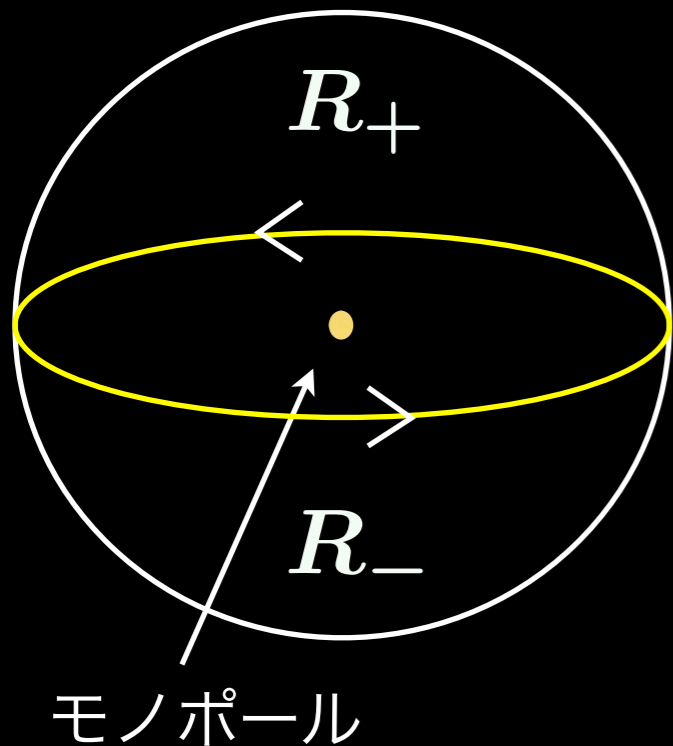
二つの領域における磁束を数える



$$\int_S \vec{B} \cdot d\vec{S} = \Phi_+ + \Phi_-$$

$$\text{左辺} = \int_S \vec{B} \cdot d\vec{S} = \int_S \frac{g}{r^3} \vec{r} \cdot d\vec{S} = 4\pi g$$

$$\begin{aligned} \text{右辺} &= \Phi_+ + \Phi_- = \int (\vec{B}_+ + \vec{B}_-) \cdot d\vec{S} \\ &= \oint_c (\vec{A}_+ - \vec{A}_-) \cdot d\vec{l} \end{aligned}$$



$$\vec{A}_+ = \vec{A}_- + \nabla\chi \text{ より}$$

$$= \oint_c \nabla\chi \cdot d\vec{l}$$

$$= \chi_f - \chi_i$$

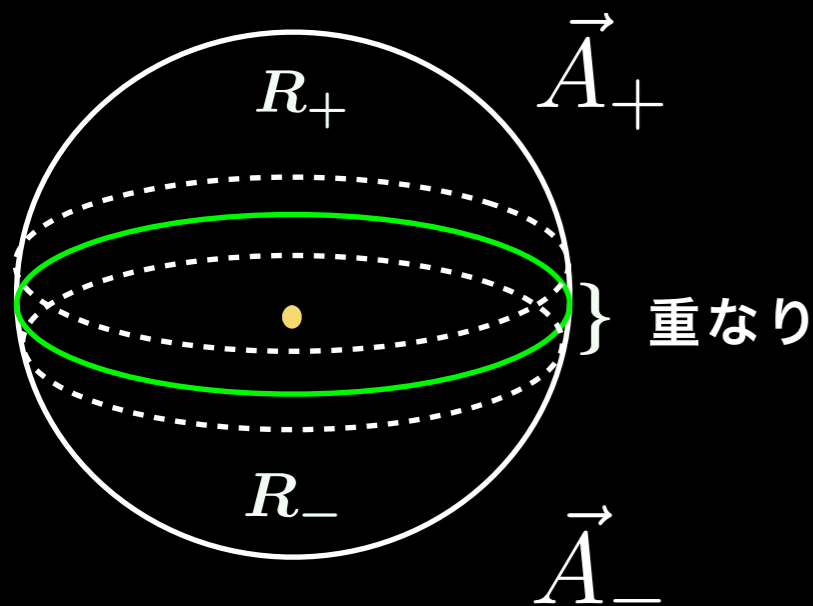
ゲージパラメータと磁荷の関係

$$\chi_f - \chi_i = 4\pi g$$

波動関数

$$H = -\frac{\hbar^2}{2m} \left(\nabla + i\frac{e}{\hbar c} \vec{A} \right)^2 + V(\vec{r})$$

重なる領域においてゲージ変換
で結ばれている必要があるので



$$\vec{A}_+ = \vec{A}_- + \nabla\chi \text{ より}$$

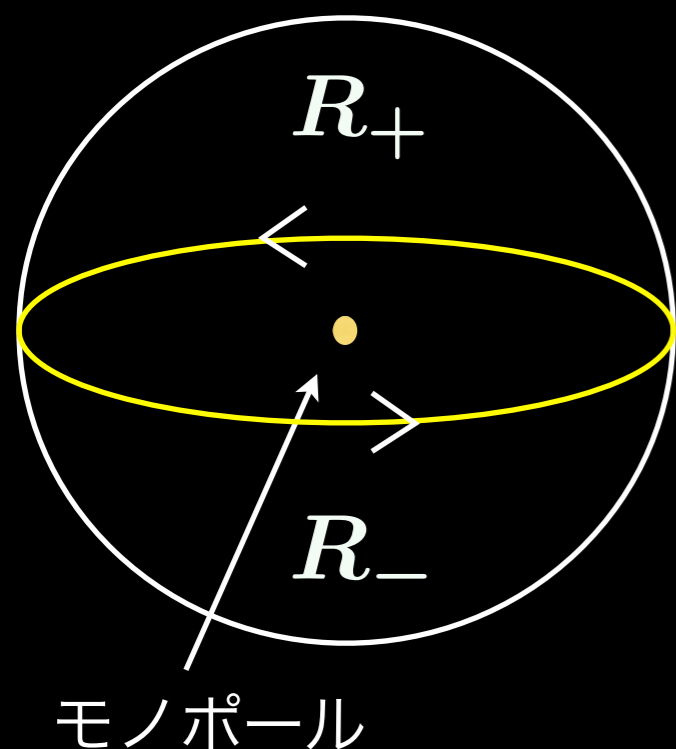
$$\psi_+ = \exp\left(-i\frac{e}{\hbar c}\chi\right) \psi_-$$

波動関数の一価

ψ_+ と ψ_- は一価であることから

$$\exp\left(-i\frac{e}{\hbar c}\chi\right) = 1$$

$$\frac{e}{\hbar c}(\chi_f - \chi_i) = 2n\pi \quad n = \text{整数}$$



量子化条件

初めと1周後のゲージパラメ
タの差

$$\chi_f - \chi_i = 4\pi g$$

+

波動関数の1価性

$$\frac{e}{\hbar c} (\chi_f - \chi_i) = 2n\pi$$



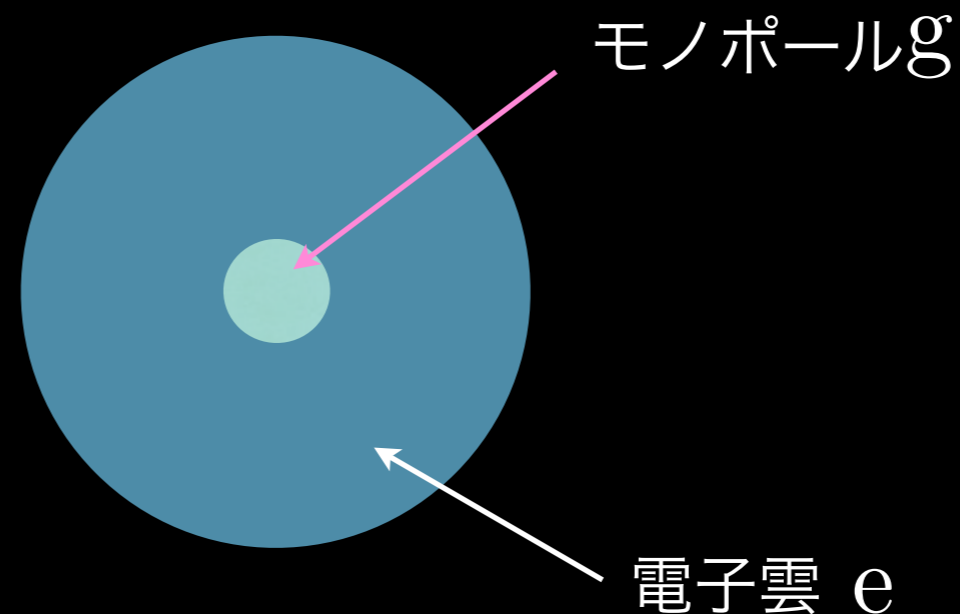
モノポールの存在するときの
量子化条件

$$eg = \frac{1}{2} \hbar c \cdot n$$

//
 $n = \text{整数}$

モノポールの周りの電子の ふるまい

- 角運動量のとおりうる固有値を示す。
- 角運動量の固有方程式を示す。



波動関数

以降は自然単位系で考える

15

また $q = eg = \frac{1}{2}n$ とおく

$$\frac{1}{2m}(\mathbf{p} - e\mathbf{A}_{\pm})^2\psi_{\pm} + V\psi_{\pm} = H\psi_{\pm}$$

ベクトルポテンシャル

$$(A_r) = (A_{\theta}) = 0$$

$$(A_{\phi})_+ = \frac{g}{r \sin \theta} (1 - \cos \theta)$$

$$(A_{\phi})_- = \frac{-g}{r \sin \theta} (1 + \cos \theta)$$

ゲージ変換

$$\vec{A}_+ = \vec{A}_- + \nabla\chi$$

$$\psi_+ = e^{2iq\phi}\psi_-$$

$$\psi = R(r)Y(\theta, \phi)$$

と分解することができ、角度方向のみ考える。特に角運動量を考える

角運動量オペレーター

この系において $[L_i, L_j] = i\epsilon_{ijk}L_k$ を満たし、
保存量である角運動量オペレーターは

$$\mathbf{L} = \mathbf{r} \times (\mathbf{p} - Ze\mathbf{A}) - \frac{q\mathbf{r}}{r}$$

と表される。

この角運動量に対する固有値
と固有方程式を示す

角運動量固有値

$$[L_i, L_j] = i\epsilon_{ijk}L_k \text{ より}$$

$$\begin{aligned} L^2 Y_{q,l,m} &= l(l+1)Y_{q,l,m} \\ L_z Y_{q,l,m} &= mY_{q,l,m} \end{aligned} \quad \Rightarrow \quad m = -l, -l+1, \dots, l$$

固有値の取りうる値

$$L^2 = [\mathbf{r} \times (\mathbf{p} - Ze\mathbf{A})]^2 + q^2 \text{ および } L^2 Y = l(l+1)Y \text{ から}$$

$$\Rightarrow l(l+1) - q^2 \geq 0$$

$$\Rightarrow l = |q|, |q| + 1, |q| + 2, \dots$$

固有方程式

$$\mathbf{L} = \mathbf{r} \times (\mathbf{p} - Ze\mathbf{A}) - \frac{q\mathbf{r}}{r}$$

→ $L^2 = [\mathbf{r} \times (\mathbf{p} - Ze\mathbf{A})]^2 + q^2$ より

$$\begin{aligned} (L^2 - q^2)Y_{\pm} &= - \left(\frac{1}{\sin \theta} \frac{\partial}{\partial \theta} (\sin \theta \frac{\partial}{\partial \theta}) + \frac{1}{\sin^2 \theta} \left(\frac{\partial}{\partial \phi} - iq(\pm 1 - \cos \theta) \right)^2 \right) Y_{\pm} \\ &= [l(l+1) - q^2]Y_{\pm} \end{aligned}$$

後に使う

以上から

$$eg = \frac{1}{2} \hbar c \cdot n \quad n = \text{整数}$$

$$l = |q|, |q| + 1, |q| + 2, \dots$$

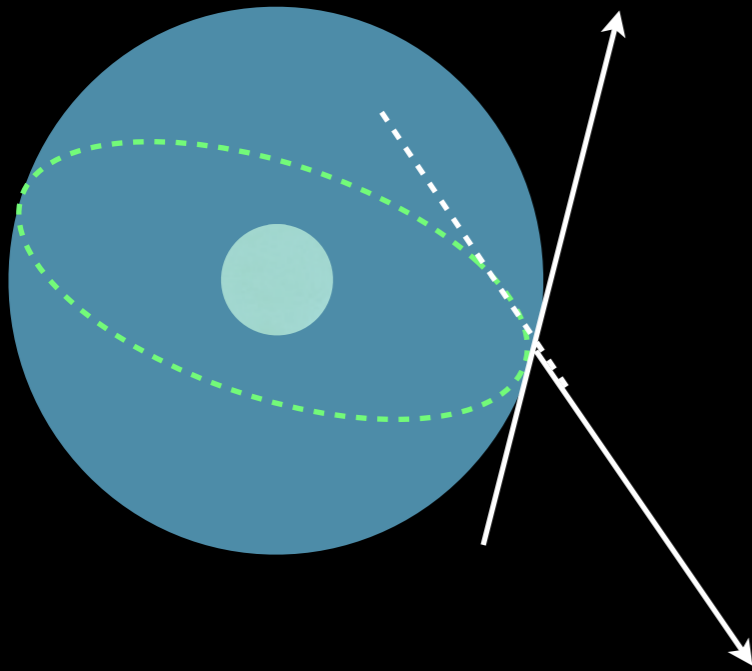
$$\begin{aligned} (L^2 - q^2)Y_{\pm} &= - \left(\frac{1}{\sin \theta} \frac{\partial}{\partial \theta} (\sin \theta \frac{\partial}{\partial \theta}) + \frac{1}{\sin^2 \theta} \left(\frac{\partial}{\partial \phi} - iq(\pm 1 - \cos \theta) \right)^2 \right) Y_{\pm} \\ &= [l(l+1) - q^2]Y_{\pm} \end{aligned}$$

モノポール背景場をもつ 余剰次元に おける相転移構造

$M^4 \times S^2$ スカラー場

作用は以下のようなになる

$$S = \int d^4x d\theta d\phi r^2 \sin\theta \left\{ -\frac{1}{r^2} \left| \frac{\partial\Phi_{\pm}}{\partial\theta} \right|^2 - \frac{1}{r^2 \sin\theta} \left| \frac{\partial\Phi_{\pm}}{\partial\phi} - iq(\pm 1 - \cos\theta)\Phi_{\pm} \right|^2 \right. \\ \left. + \eta^{\mu\nu} \frac{\partial\Phi_{\pm}^*}{\partial x^{\mu}} \frac{\partial\Phi_{\pm}}{\partial x^{\nu}} + \mu^2 \Phi_{\pm}^* \Phi_{\pm} - \lambda (\Phi_{\pm}^* \Phi_{\pm})^2 \right\}$$



(θ, ϕ) は余剰次元の座標

r は余剰次元の半径、定数

$U(1) \times SU(2)$

M^4 方向は対称性を破らない古典的なエネルギー
について考える。

M^4 方向を最小化するエネルギー E

$$E = \int d\theta d\phi r^2 \sin \theta \left\{ \frac{1}{r^2} \left| \frac{\partial \Phi_{\pm}}{\partial \theta} \right|^2 + \frac{1}{r^2 \sin^2 \theta} \left| \frac{\partial \Phi_{\pm}}{\partial \phi} - iq(\pm 1 - \cos \theta) \Phi_{\pm} \right|^2 - \mu^2 \Phi_{\pm}^* \Phi_{\pm} + \lambda (\Phi_{\pm}^* \Phi_{\pm})^2 \right\}$$

$$E = \int d\theta d\phi r^2 \sin \theta \left\{ \Phi_{\pm}^* \frac{L^2 - q^2}{r^2} \Phi_{\pm} - \mu^2 \Phi_{\pm}^* \Phi_{\pm} + \lambda (\Phi_{\pm}^* \Phi_{\pm})^2 \right\}$$

$$\frac{l(l+1) - q^2}{r^2} \Phi_{\pm} \left\{ \begin{array}{l} l = |q|, |q| + 1, |q| + 2, \dots \\ m = -l, -l + 1, \dots \end{array} \right.$$

$l = |q|$ の状態のみで近似的に考える

$$|q|(|q| + 1) - |q|^2 = |q|$$

$$E \geq \int d\theta d\phi \sin \theta \{ (|q| - \mu^2 r^2) |\Phi_{\pm}|^2 + \lambda r^2 |\Phi_{\pm}|^4 \}$$

● $|q| - \mu^2 r^2 \geq 0$

$$\langle \Phi \rangle = 0$$

● $|q| - \mu^2 r^2 < 0$

$$\langle \Phi \rangle \neq 0$$

$$r_q = \frac{\sqrt{|q|}}{\mu} \quad \text{臨界半径}$$

$q = 0$ の場合

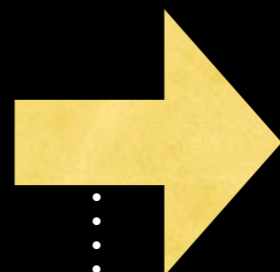
$$E \geq \int d\theta d\phi \sin \theta \{ (|q| - \mu^2 r^2) |\Phi_{\pm}|^2 + \lambda r^2 |\Phi_{\pm}|^4 \} \text{ より}$$

$$\langle \Phi_{\pm} \rangle = \frac{1}{\sqrt{2\lambda}} \mu \quad U(1) \times SU(2) \longrightarrow SU(2)$$

相転移

- $q \neq 0$

$$U(1) \times SU(2)$$



?

$$\langle \Phi \rangle = 0$$

$$\langle \Phi \rangle \neq 0$$

0

r_q

r

- $q = 0$

$$SU(2)$$

$$\langle \Phi_{\pm} \rangle = \frac{1}{\sqrt{2\lambda}} \mu$$

0

r

$q = 1/2$ の場合を考え、対称性を見る

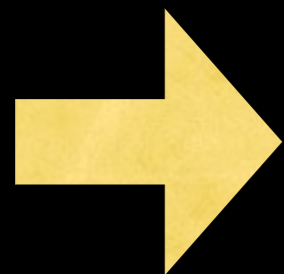
$$\Phi_{\pm}^{1/2}(\theta, \phi) = v \left[-e^{-(\phi-\gamma)/2} \sin(\beta/2) \cos(\theta/2) + e^{i(\phi-\gamma)/2} \cos(\beta/2) \sin(\theta/2) \right] e^{\pm\phi/2}$$



北極点にゼロ点を置く

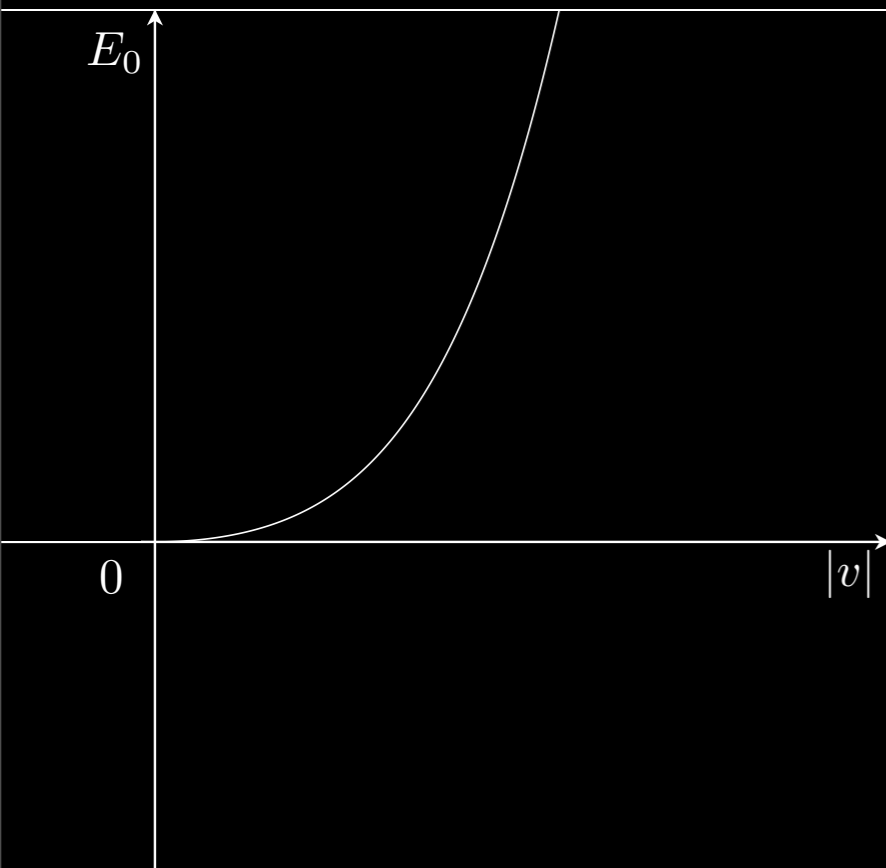
$$\Phi_{\pm}^{1/2}(\theta, \phi) = v e^{-i(1\pm 1)\phi/2} \sin(\theta/2)$$

$$E \geq \int d\theta d\phi \sin \theta \{ (|q| - \mu^2 r^2) |\Phi_{\pm}|^2 + \lambda r^2 |\Phi_{\pm}|^4 \} \text{ より}$$



$$E_0 = -2\pi(\mu^2 r^2 - 1/2)v^2 + \frac{2}{3}2\pi\lambda v^4$$

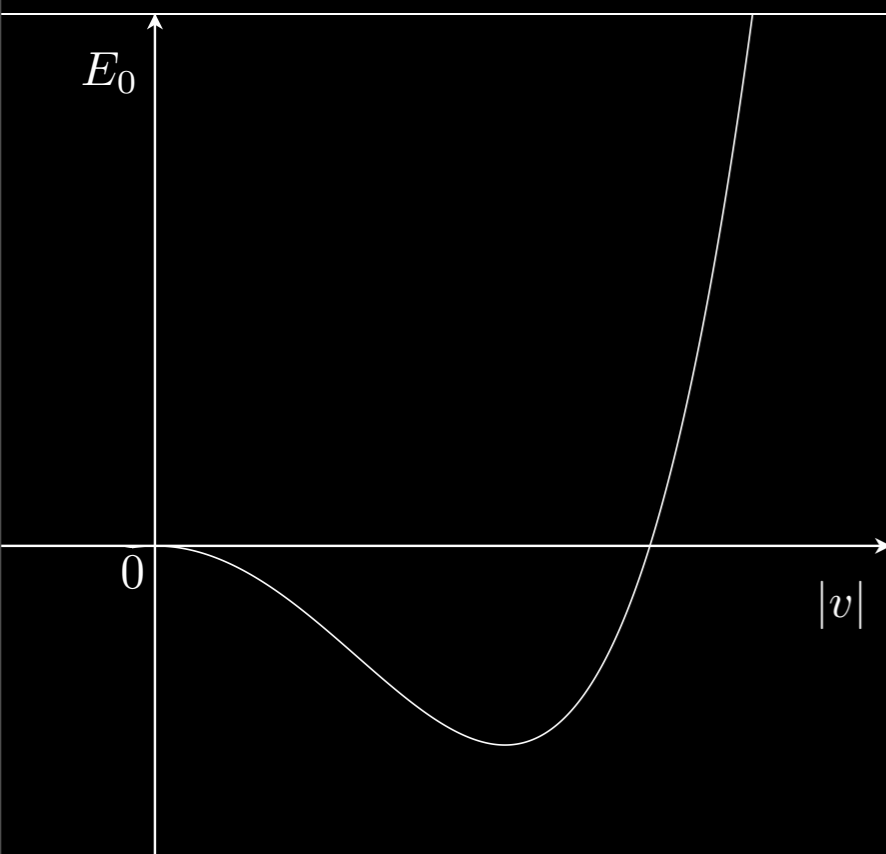
$$E_0 = -2\pi(\mu^2 r^2 - 1/2)v^2 + \frac{2}{3}2\pi\lambda v^4 \text{ のグラフ}$$



- $r \leq (\sqrt{2}\mu)^{-1}$

$v = 0$ にて極小

真空期待値 $\langle \Phi \rangle = 0$



- $r > (\sqrt{2}\mu)^{-1}$

$v = \frac{3}{4\lambda r^2}(\mu^2 r^2 - 1/2)$ にて極小

$$\langle \Phi_{\pm} \rangle = \sqrt{\frac{3}{4\lambda r^2}(\mu^2 r^2 - 1/2)} e^{i(1\pm 1)\phi/2} \sin(\theta/2)$$

- $r > (\sqrt{2}\mu)^{-1}$

$$\left(\Phi_+^{1/2}, \Phi_-^{1/2} \right) (\theta, \phi) \longrightarrow e^{it} \left(e^{it} \Phi_+^{1/2}, e^{-it} \Phi_-^{1/2} \right) (\theta, \phi - 2t)$$

という $U(1) (\equiv U'(1))$ 対称性を持つ

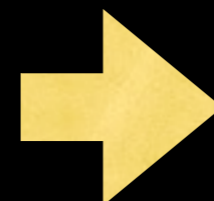
$$\langle \Phi_+ \rangle = \sqrt{\frac{3}{4\lambda r^2}} (\mu^2 r^2 - 1/2) e^{i\phi} \sin(\theta/2)$$

$$\langle \Phi_- \rangle = \sqrt{\frac{3}{4\lambda r^2}} (\mu^2 r^2 - 1/2) \sin(\theta/2)$$

$q = 1/2$ のまとめ

- $r \leq (\sqrt{2}\mu)^{-1}$

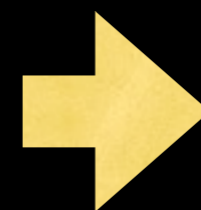
$$\langle \Phi \rangle = 0$$



$$U(1) \times SU(2)$$

- $r > (\sqrt{2}\mu)^{-1}$

$$\langle \Phi_{\pm} \rangle = \sqrt{\frac{3}{4\lambda r^2} (\mu^2 r^2 - 1/2)} e^{i(1\pm 1)\phi/2} \sin(\theta/2)$$



$$U'(1)$$

$$U(1) \times SU(2)$$

$$U'(1)$$

$$\langle \Phi \rangle = 0$$

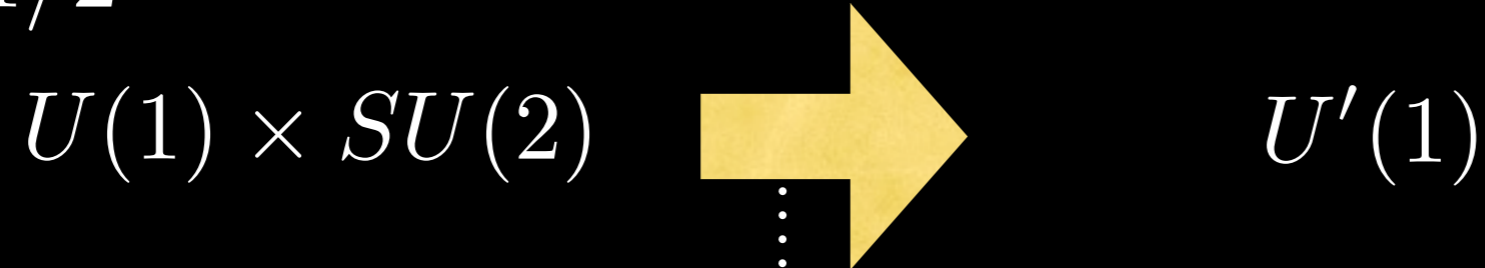
$$\langle \Phi_{\pm} \rangle = \sqrt{\frac{3}{4\lambda r^2} (\mu^2 r^2 - 1/2)} e^{i(1\pm 1)\phi/2} \sin(\theta/2)$$

0

 $r_{1/2}$ r

対称性まとめ

- $q = 1/2$



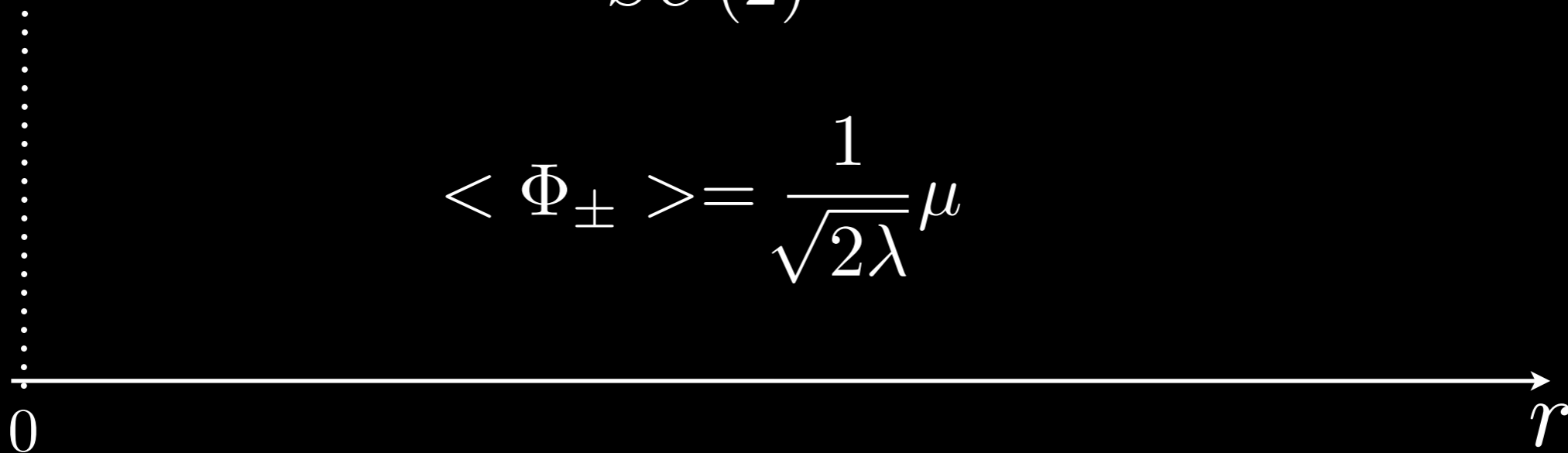
$$\langle \Phi \rangle = 0 \qquad \langle \Phi_{\pm} \rangle = \sqrt{\frac{3}{4\lambda r^2} (\mu^2 r^2 - 1/2)} e^{i(1\pm 1)\phi/2} \sin(\theta/2)$$



- $q = 0$

$SU(2)$

$$\langle \Phi_{\pm} \rangle = \frac{1}{\sqrt{2\lambda}} \mu$$



結論

この時、 S^2 にモノポール背景場を入れると相転移構造が現れ、真空期待値が座標依存性を持つことを示した。